

تأثير مادة الطبقة الممیعة عند درجات حرارة مختلفة

على بلی المعادن المغمورة فيها

ولید جلال على

معن سعد الدين الدجاج

جامعة الموصل - كلية الهندسة - قسم الهندسة الميكانيكية

الخلاصة

تستخدم الطبقات الممیعة في زيادة معامل الانتقال الحراري للمبادلات الحرارية، تتكون مادة الطبقة عادة من الرمل بأنواعه (رمل السيليکا ، الألومينا .. الخ) . أثناء استخدام هذه الطبقة تصطدم حبيبات الرمل بالسطح المغمور و بسرع مختلفة يهدف البحث إلى دراسة تأثير مادة الطبقة الممیعة على سطوح المعادن المغمورة فيها وعلى كمية المعادن المزال بعملية البلی (wear) وبدرجات حرارية مختلفة للهواء الممیع . وقد تبين أن كمية المعادن المزال قليلة جداً بالنسبة لساعات التشغيل وذلك لأن سرعة الحبيبات قليلة جداً بالنسبة لعملية إزالة المعادن هذا يوضح أن المبادلات التي تعمل بالطبقات الممیعة لها القابلية على تنظيف سطوح المعادن المغمورة فيها بنفسها، كما دلت النتائج على أن معden الألمنيوم أسرع المعادن المستخدمة وأكثرها تأثراً بعملية التمييع حيث كانت نسبة فقدان في الوزن بعد مرور 48 ساعة تشغيل هي (0.5)% من الوزن الأصلي أما سبيكة النحاس الأصفر والصلب منخفض الكاربون فقد كانت النسب (0.005 % ، 0.0042 %) على التوالي من الوزن الأصلي.

اما كمية المعادن المزال عند رفع درجات الحرارة فكانت النسبة اكبر بشیء قليل عما كانت عليه عند درجة حرارة البيئة ولآخر 8 ساعات تشغيل، وقد كانت نسبة فقدان الوزن بالنسبة لمعدن الألمنيوم (0.9)% أما سبيكة النحاس الأصفر والصلب منخفض الكاربون فقد كانت النسب (0.006% ، 0.007%) على

وقد تم التوصل إلى معادلات تجريبية تربط بين وزن القطعة وساعات التشغيل وكذلك بين وزن القطعة ودرجة حرارة الهواء الممیع عند رفع درجة حرارته.

Effect of fluidized bed material at different Temperatures on the wear of the immersed metal surfaces

Maan S. Al-Dabbagh

Assistant Lecturer

Waleed Jalal Ali

Assistant Professor

Coll. of Eng. Univ. of mosul

Abstract

Fluidized beds are used to increase heat transfer coefficient in heat exchangers. Usually the bed material is from sand (silica, Alumina...etc.). During the use of the bed, the sand particles collide with the submerged surface at different velocities.

In this work, the effect of fluidized bed material on the metal surface submerged in it, and metal removed by wear at different air temperature was studied. It was found that the metal removed is very small because the velocity of sand particles is very small. This shows that heat exchanger, in which the fluidized bed is used, has ability to clean the submerged metal surface by it self. Results also showed that Aluminum was faster and more affected by fluidization than other metals used, for the same working period (48hr), the weight lost by Aluminum was 0.5 % while that for brass and low carbon steel were 0.005 % and 0.0042 % from the original weight respectively.

The removed metal increased when the fluidized bed temperature was raised. The weight lost at last 8 hours period, by; Aluminum was 0.9 % and that for brass and low carbon steel were 0.007% and 0.006% from the original weight respectively.

Experimental correlations of piece weight and working hours, and piece weight and fluidized bed temperature were proposed.

Key words: heat transfer – heat exchanger - fluidized bed – wear of metals.

قبل في 3/7/2007

الرموز والمصطلحات:-
استلم في 12/12/2006

| mm | قطر الحبيبة | d |
|-----|--|----------|
| mm | القطر المتوسط للحبوب الصلبة | d_p |
| mm | المتوسط الحسابي لقطر المنخل الذي دخلت منه العينة | d_i |
| | ثابت [15] | K_4 |
| Kg | الكتلة | m |
| | عدد للجسيمات الحاكمة والقاطعة في زمن معين | N |
| m/s | سرعة الممیع الدنيا | U_{mf} |

| | | |
|----------|--|-------|
| m/s | <u>سرعة الحبيبات</u> | |
| m^3 | <u>الحجم</u> | V |
| Kg | <u>وزن المعادن المزدوج</u> | Q |
| | <u>النسبة بين كتلة العينة المتبقية على المنخل إلى كتلة العينة الكلية</u> | x_I |
| N/m^2 | <u>إجهاد الخضوع للمعدن</u> | y |
| kg/m^3 | <u>الكثافة الظاهرية للرمل</u> | |
| kg/m^3 | <u>كثافة الهواء</u> | a |

المقدمة :

تستخدم الطبقات الممیعة لزيادة الانتقال الحراري حيث يتم غمر مجموعة من الأنابيب المزعنفة في طبقة ممیعة ضحلة تحتوي على مادة صلبة على شكل حبيبات لزيادة المعدل الكلي للانتقال [1] ويسلط عليها هواء من الأسفل لإجراء عملية التمیيع بكمية وسرعة تصميمية معینة . هنا أنواع من الحبيبات في الطبقة الممیعة منها (الرمل بأنواعه ، الزجاج بأنواعه ، برادة الصلب منخفض الكاربون ، أوكسيد الألمنيوم مع الرمل) وقد أجريت دراسات عديدة حول استخدام هذه المواد منها الدراسات النظرية و العملية [2,3,4,5,6] حيث وجد أن معدل الانتقال الحراري في الطبقات الممیعة يعتمد على عدة عوامل منها سرعة الممیع وحجم وكثافة الحبيبات وخواصها الفیزیائية .

إن تيار الهواء (الممیع) الداخل إلى الطبقة الممیعة يقوم بانتزاع الحرارة منها والتي قد تم انتزاعها أصلاً من المبادر الحراري وطردها إلى الجو . كما أن التيار الهوائي يتم دفعه بواسطة مراوح طرد مركزي أو هواء مضغوط [7,8].

في الطبقات الممیعة يكون الهواء عادة (الممیع الخارجي) هو العامل في نقل الحرارة من والى الطبقة ، فإن كان الهواء ساخناً سيؤدي إلى تسخين الطبقة وبالعكس في حالة كونه بارداً سيؤدي إلى انتزاع الحرارة [2,3].

إن التآكل الميكانيكي الذي يحدث بالأجزاء المعدنية في محركات الطائرات والصواريخ وأجهزة توليد البخار والناتج عادة عن ارتظام الحبيبات الصلبة الصغيرة والموجودة في الهواء الجوي أو الوقود والبخار بالأجزاء الدوارة ، وهو متوقع الحدوث ، وقد يسبب أضراراً بالغة الأهمية في الأجهزة بسبب السر العالية لهذه الحبيبات في أماكن استخدامها . ويؤخذ هذا الجانب بأهمية بالغة من لدن المصممين من أجل التقليل من معدل التآكل في الأجهزة باستخدام مرشحات للهواء المستخدم في الأجهزة أو طلاء سطوح المعادن بطبقة مانعة للتآكل لتحسين أداء المنظومات والتقليل من الخسائر . ولما كانت المبادرات الحرارية التي تعمل بالطبقات الممیعة تحتوي على مجموعة من الأنابيب المزعنفة ويصطدم بها الغاز الممیع

بسرعة تعتمد على طبيعة الطبقة المميزة كان لابد من الاهتمام بهذا الجانب وحساب معدل التآكل الميكانيكي ، والمتوقع الحدوث ، على أجزاء المبادل [9] .

[10] في دراسته عن التآكل الميكانيكي أن هناك عدة عوامل مؤثرة ولها علاقة مباشرة في التآكل الميكانيكي الناتج عن ارتظام الحبيبات بالسطح المقابلة للتيار ومن هذه العوامل :

1. سرعة الحبيبات (أقل سرعة هي 100 \).
2. زاوية الارتطام (بين 20 \ 90 \).
3. كثافة الحبيبات.
4. كتلة الحبيبات الصلدة.
5. تأثير طبقة الهواء الباردة .
6. قطر الحبيبة .

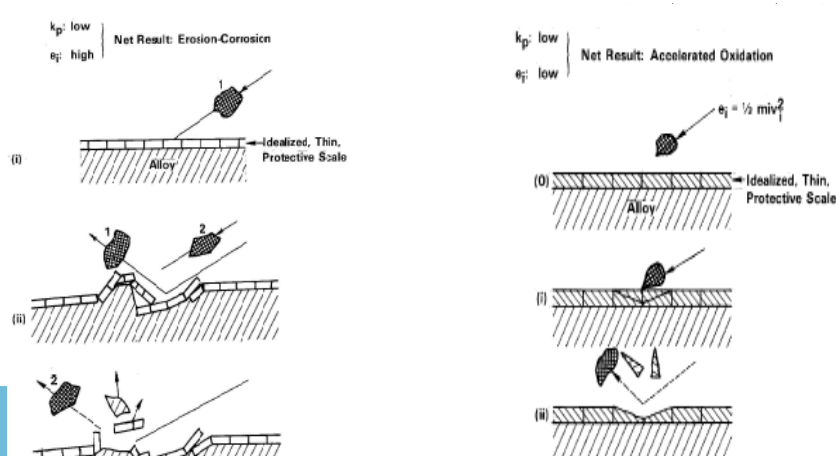
وكذلك شكل الحبيبة فله بعض التأثير في التآكل مثل (شكل الحبيبة الزاوي زجاج الكوارتز) التي لها تأثير أكبر من الحبيبات ذوات الشكل الكروي كما إن الحبيبات الأكثر صلادة تسبب تأثيراً أكبر في التآكل الميكانيكي [11] .

أثبتت البحوث التي أشار إليها العلاف أن أكبر تأثير للتآكل الميكانيكي لمعدن من سبيكة الألمنيوم 2024 يحصل عندما تكون زاوية الارتطام هي 20 درجة وعندما تزداد زاوية الارتطام إلى 90 درجة فإن تأثير تآكل الميكانيكي يقل إلى أقل قيمة وعلى أي حال فإن المعدن المهد يحدث به أكبر تآكل ميكانيكي عندما تكون زاوية الارتطام 90 \ .

ولما كان المعدن المستخدم للزعفرنة هو من مادة الألمنيوم ومعدن الأنبوب من مادة النحاس وكلاهما معدنان غير هشين وإن زاوية الارتطام في المبادل الذي نعمل عليه هي 90 درجة لذلك يكون التآكل الميكانيكي قليلاً جداً .

إن من العوامل المؤثرة على كمية المعدن المزال أيضاً هي الطاقة الحركية للمادة المقذوفة فكلما كانت قليلة كانت كمية المعدن أقل والعكس هو الصحيح [12,13,14]. حيث يوضح الشكل (1) هذا التأثير .

إن الطاقة الحركية للحبيبات تستخدم عادة في إزالة طبقات من سطوح المعادن بعملية تآكل ميكانيكي ، وقد [15] عملية التآكل الميكانيكي وقد بينا أن العملية لكي تتم يجب أن تكون سرعة الحبيبات ضمن أقل سرعة وهي 150 \ آثاراً تقريباً ويجب أن تكون الحبيبات موجهة على \|



الحسابات النظرية :

لحساب كمية المعادن المزال من سطوح المعادن بواسطة ارتظام الحبيبات بالسطح فقد وجد كل من باندي [15] علاقة رياضية لحساب كمية المعادن المزال وهذه العلاقة هي:

$$Q = k_4 N d^{3/2} \left(\frac{\rho_a}{12\sigma_y} \right)^{3/4}$$

.....(1)

الدِيَاغُونِيَّة: تأثير مادة الطبقة الممبيعة عند درجات حرارة مختلفة على بللي المعادن المغمورة فيها

تم تحديد سرعة الممیع الدنيا (Umf) تجربیاً وفق منحنی العلاقة المعروفة ($P = f(u)$).
المتوسط للحبیبات الصلبة باستخدام معادلة بوتریل [16].

$$d_p = \left[\sum_i (x_i / d_i) \right]^{-1}$$

.....(2)

أما قيم الكثافة الظاهرة للمواد المستخدمة في التجارب ، فأخذت عينة للمادة وزُنَت ومن ثم وضعت في وعاء معرفة الكتلة والحجم للعينة تم حساب الكثافة الظاهرة من المعادلة:

$$\dots\dots\dots(3)$$

· وقد تبين أن الكثافة الظاهرية للرمل المستخدم هي بحدود 1600 kg/m^3

الجائب العملي :

١. الجهاز المختبرى :

لـغرض حساب كمية المعدن المزال من سطوح المعادن المغمورة في المنظومة كان لـابد من بناء جهاز مختبرـي من اجل إجراء الفحوصات المختبرـية ، يتكون الجهاز والمـ(2) من دافعـة هـواء ذات طرد مركـزي وسرـعة دورـانية (2850 دورـة في الدـقيقة) 2.2kW وتعـمل بـأطـوار ثـلـاثـية وبـفرق جـهد (380) وـأقصـى كـمية هـواء يتم تـجهـيزـها (10000) | دـقيقـة أي ما يـقارـب 0.12 مـتر مـكـعب في الثانية وـتـنـصـلـ الدـافـعـة بـأنـبـوب وـصـمـام تـحـكـم لـلـسـيـطـرة عـلـى كـميـة الـهـواء الـداـخـل إـلـى جـزـءـ الفـحـصـ والـذـي هو عـبـارـة عـن حـاوـيـة ذات أـبعـاد (52 x 14.5 x 4cm) مـصـنـوعـة مـن مـادـة البـلاـسـتيـكـ الشـفـافـ وـتم رـبـطـ مـقـيـاسـ لـلـضـغـطـ وـهو عـبـارـة عـن مـانـوـمـيـترـ مـائـيـ كما تم استـخدـامـ جـهاـز لـقـيـاسـ سـرـعةـ الـهـواءـ portab~le ذو تـدرـيجـ (0-20) مـتر لـكـلـ ثـانـيـةـ مجـهزـ بمـصـدرـ لـلـتـيـارـ المـسـتـمـرـ (بطـاريـةـ 9ـ).

تم اختيار ثلاثة أنواع من العينات لإجراء الدراسة والتحليل العملي عليها وهي معدن صلب منخفض الكاربون والألミニوم وسيكة النحاس الأصفر وهي نفس المعادن التي قد تستخدم في تصنيع المبادرات الحرارية ، وتم تصنيعها بشكل أسطواني حيث تم تثبيتها بمواجهة التيار الممتع وبعده (6) كل عينة حيث تم استخدام ثلاثة منها عند الفحص بدرجة حرارة الغرفة والثلاثة المتبقية عند رفع درجة حرارة الهواء الممتع .

تم اختيار عمق الطبقة وسرعة الهواء الممیع وحجم الحبیبات بعد الانتهاء من تركيب كافة أجزاء الجهاز وقد تم اخذ وزن العینات قبل التشغیل وبعده بحيث تم تحديد الساعات بـ (8 - 16 - 24 - 32 - 40 - 48) ساعة ولكل أنواع نماذج الفحص المستخدمة کي يتم بیان مدى تأثر المعادن بتیار الطبقة.

تم تجهیز الجهاز بأربعة مسخنات حرارية نوع أحادیة 220 فولت سیرامیکیة ذوات قدرة 1000 واط لكل منها وتم وضعها داخل مجراً هوائي معدني ذو أبعاد (35 x 35 x 60 cm) قبل دخوله إلى المروحة واستخدامها تدريجياً من أجل رفع درجة حرارة الهواء الممیع الداخل إلى الطبقة والشكل (2) يوضح أيضاً المقطع العرضي لجزء الفحص وكذلك المجراً الهوائي المستخدم في عملية تسخين الهواء.

وقد تم قیاس درجات الحرارة باستخدام محارير زجاجية ومزدوجات حرارية بعد أربعة أزواج وضعت كل زوجين منها قبل وبعد جزء الفحص أي قبل الدخول إلى الطبقة الممیعة وبعدها وقد كانت نسبة الخطأ $\pm 0.2\%$ وهذه نسبة مقبولة بالنسبة للظروف التشغيلية.

2. الظروف المختبرية وطريقة العمل :

1. جزء الفحص وهو عبارة عن حاوية بلاستيكية ذات قاعدة بلاستيكية مثقبة تمثل (الصفيحة الموزعة) لضمان دخول وتوزيع الهواء الممیع بانسيابية على كل الحاوية.

2. الطبقة الممیعة وهي عبارة عن رمل نهري ذو حجم 350 مايكرومیتر معالج مختبرياً وبارتفاع 8

3. نموذج الفحص وهي عبارة عن ثلاثة عینات أسطوانية الشكل هي معن صلب منخفض الكاربون والألمونيوم وسبیكة النحاس الأصفر وبقیاس (3.8 * 02) . لقد تم اختيار هذه العینات كونها نفس تصنع منها المبادرات الحرارية.

4. وضع جزء الفحص أمام تیار الهواء الممیع وتحديد الساعات بـ (8 - 16 - 24 - 32 - 40 - 48) .

5. أجريت التجارب في درجة حرارة الجو التي كان متوسطها 29 درجة مؤية ومن ثم تم تغيير درجات الحرارة للهواء الممیع عن طريق زيادة تشغیل المساندات وتحديد درجات الحرارة (25 - 30 - 35 - 40 - 45 - 50) درجة مؤية من أجل بیان مدى تأثر سطوح المعادن بهذه الزيادة.

6. تم اخذ وزن العینات قبل الفحص وبعدها من أجل بیان الفرق في الوزن ومدى تأثر المعادن بتیار الهواء.

7. تم تحديد سرعة الهواء الممیع (1) متر لكل ثانية من أجل إحداث عملية التمییع.

3. الفحوصات الجاریة :

8. تم فحص جميع النماذج على جهاز فحص الصلادة Brooks Inspection Ltd. للحصول على صلادة روکویل (HRB) Rockwell hardness test والتي أجريت عليها التجارب المختبرية للتاكيد من النتائج ومقارنتها مع النتائج المختبرية وقد وجد أن معن الألمنيوم هو اقل المعادن المستخدمة صلادة

:

93.3 HRB .1

87.36 HRB 2. سبیكة النحاس الأصفر

86.13

HRB

3. معدن الألمنيوم

النتائج والمناقشة :-

يبين الشكل (3 4 5) العلاقة بين وزن القطعة و زمن التشغيل لمعدن الألمنيوم و سبيكة النحاس الأصفر و صلب منخفض الكاربون على التوالي حيث يلاحظ من الشكل (3) أن هناك نقصاناً بالوزن (0.5 %) من الوزن الأصلي للألمنيوم بانتهاء عملية التشغيل كما يلاحظ من الشكل أن الفرق يظهر بصورة أكبر كلما ازدادت ساعات التشغيل ، أما الشكل (4) فيظهر فقدان بالوزن لسببيكة النحاس الأصفر والذي يقدر بحدود (0.005 %) من الوزن الأصلي للسببيكة أي قبل عملية التشغيل (5) فيظهر فقدان بالوزن لمعدن صلب منخفض الكاربون والذي يقدر بحدود (0.0042 %) من الوزن الأصلي للمعدن كما يظهر الشكل أن التأثير يبدأ بالوضوح عند آخر ثمانية ساعات من التشغيل النهائي مما تقدم أعلاه نستنتج أن المعادن ذات الصلادة العالية أقل تأكلاً بعملية التقطيع أو ارتقاط حبيبات المادة المتبقية بها والمعدان الأقل صلادة كالألمنيوم حصل بها تأكلاً أكبر كما يلاحظ من النسب التي ظهرت لدينا أنها قليلة جداً مقارنة بالوزن الأصلي وبما أن سرعة الهواء الممیع المستخدمة قليلة (1) لكل ثانية مقارنة بالسرعة المستخدمة في عملية إزالة الطبقات من سطح المعادن وكذلك زاوية اـ الحبيبات والتي تكون عمودية على النماذج فإن تأثير هذين العملين قليل جداً ، أي أن الطاقة التي تمتلكها الحبيبات قليلة لإزالة طبقات من المعادن المستخدم وهذا يتواافق مع ما توصل إليه الباحثون [1,2,6,9,12,13] على أن المبادرات الحرارية التي تعمل بالطبقات الممیعة لها القابلية على تنظيف الأسطح بنفسها وكما هو معلوم باـ عملية التنظيف تؤدي إلى المحافظة على قابلية التوصيل الحراري لجدار الأنابيب لأن الأكسيد تؤثر على قابلية التوصيل الحراري حيث أن هذه الكمية المشار إليها أنفـاً تُعد ضمن عملية التنظيف دون إجراء عمليات الصيانة كما أن هذا يقلـ من الكلفة الاقتصادية الكلية لتصنيع مثل هذه المبادرات.

وقد تم التوصل إلى علاقات تجريبية تربط وزن القطعة (M) وساعات التشغيل (t) ، وقد كان معامل (R^2) لمعدن الألمنيوم هو 0.9891 أما لسببيكة النحاس الأصفر و صلب منخفض الكاربون فهما (0.994) 0.9864 . والعلاقات التجريبية فهي كالتالي :

معدن الألمنيوم

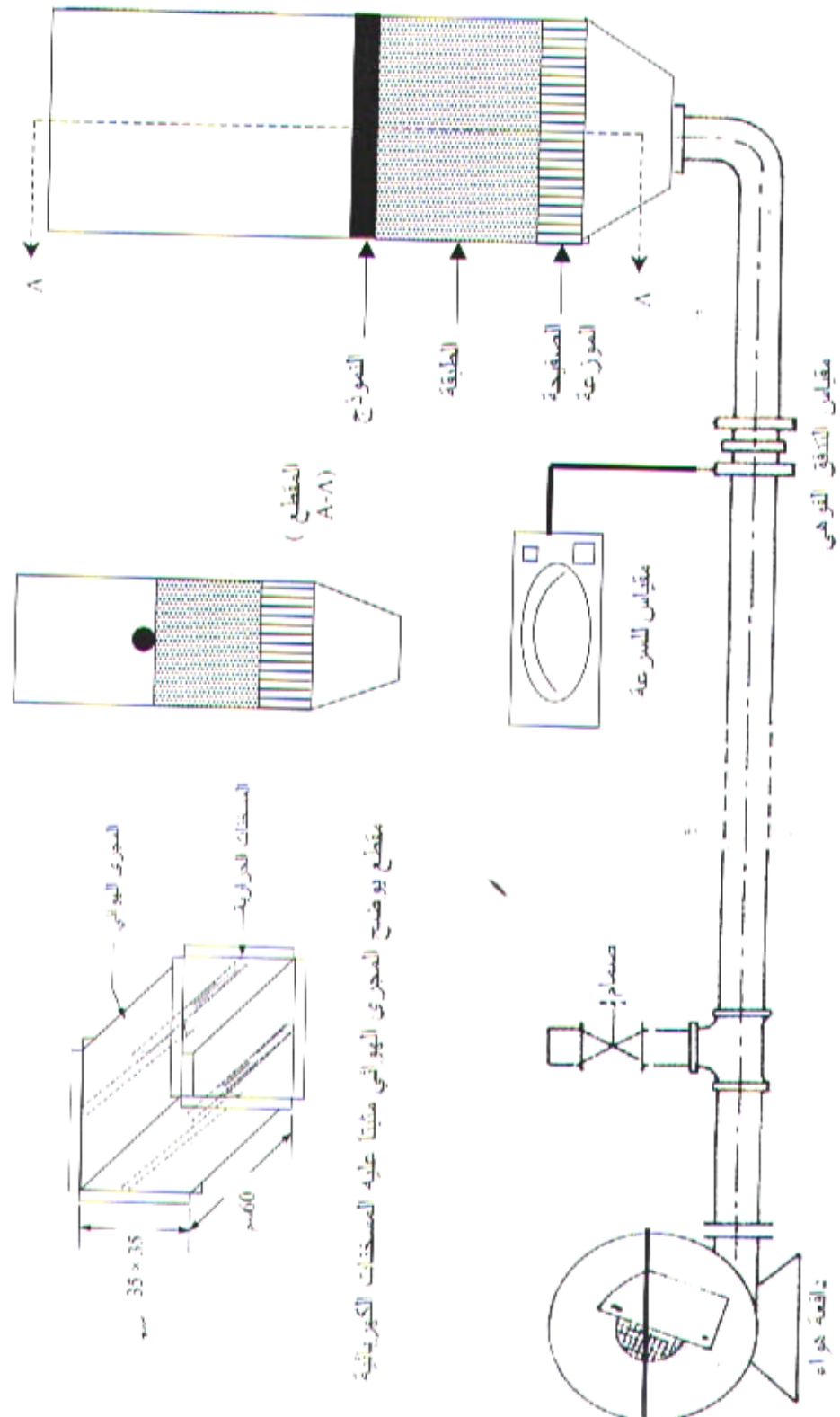
$$M = -1E-07t^4 + 1E-05t^3 - 0.0004t^2 + 0.0026t + 21.981$$

سببيكة النحاس الأصفر

$$M = -9E-10t^3 + 2E-08t^2 - 3E-06t + 59.026$$

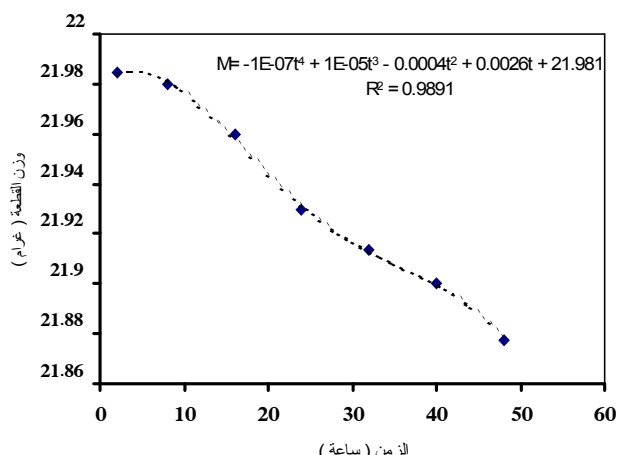
ولمعدن صلب منخفض الكاربون

$$M = -4E-08t^3 + 3E-06t^2 - 8E-05t + 63.793$$

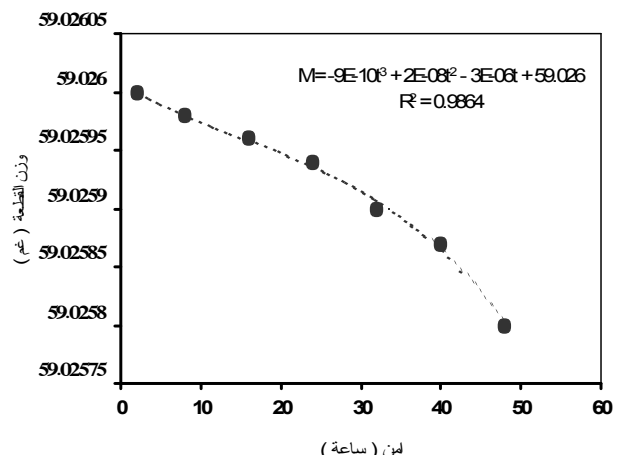


شكل (2) يوضح منظومة التجارء في المبدأ المختبرى

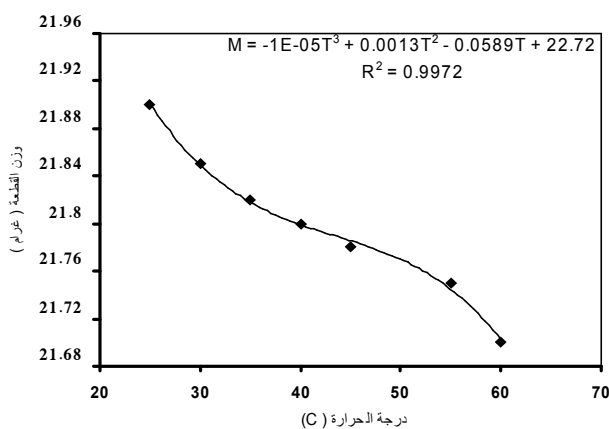
الدجاج : تأثير مادة الطبقة الممیعة عند درجات حرارة مختلفة على بلي المعادن المغمورة فيها



الشكل (3) العلاقة بين وزن القطعة ووزن التشغيل لمعدن الالمنيوم

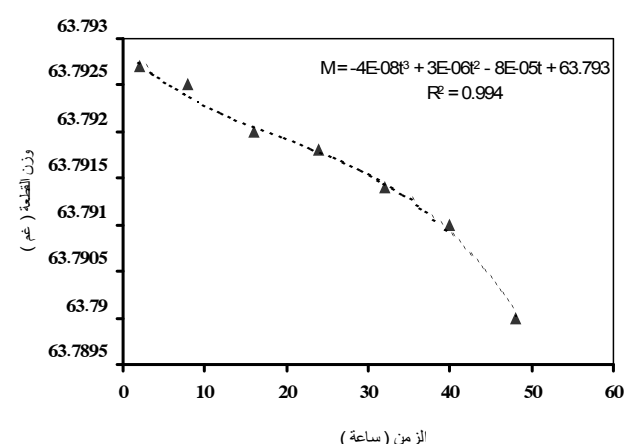


الشكل (4) العلاقة بين وزن القطعة ووزن التشغيل لمعدن كبر الفحاس الأصفر

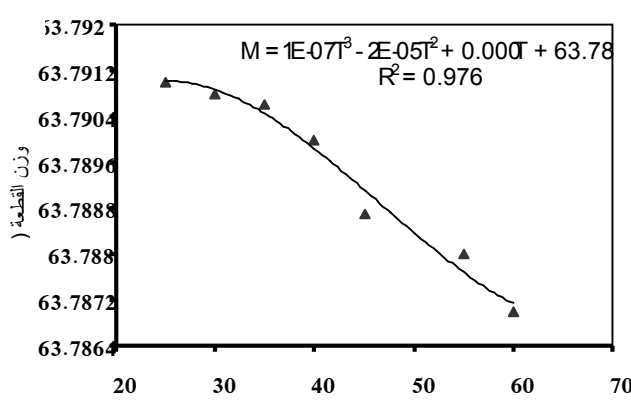


الشكل (6) العلاقة بين وزن القطعة ودرجة حرارة الهواء الممیع

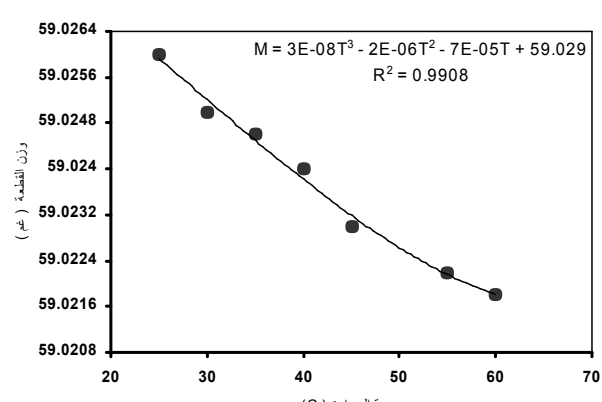
الشكل (6) العلاقة بين وزن القطعة ودرجة حرارة الهواء الممیع
ولآخر ثمانية ساعات تشغيل لمعدن الالمنيوم



الشكل (5) العلاقة بين وزن القطعة ووزن التشغيل لمعدن بـ



الشكل (8) العلاقة بين وزن القطعة ودرجة حرارة الهواء الممیع
ولآخر ثمانية ساعات تشغيل لمعدن صلب منخفض الكاربون



الشكل (7) العلاقة بين وزن القطعة ودرجة حرارة الهواء الممیع
الشكل (7) العلاقة بين وزن القطعة ودرجة حرارة الهواء الممیع
ولآخر ثمانية ساعات تشغيل لسبیکة النحاس الأصفر

كما تم اخذ التأثير الحراري على المعادن انفة الذكر وذلك برفع درجة حرارة الهواء الممیع إلى 60 درجة مؤية كحد أقصى للهواء الداخل إلى الطبقة بالنسبة لظروف الجویة السائدة لفصل الصيف في العراق حيث تم تشغيل مسخنات الهواء بصورة تدريجية لحين الوصول إلى

يبين الشكل (6 7 8) العلاقة بين وزن القطعة ودرجة حرارة الهواء الممیع لمعدن الألمنيوم وسيکة النحاس الأصفر وصلب منخفض الكاربون على التوالي حيث يلاحظ من الشكل (6) هناك نقصاناً بالوزن لمعدن الألمنيوم بحدود (0.9 %) زن الأصلي للمعدن قبل عملية التشغيل ، أما الشكل

(7) فيظهر فقدان بالوزن لسيکة النحاس الأصفر والذي يقدر بحدود (0.007 %) من الوزن الأصلي لسيکة والشكل (8) فيظهر فقدان بالوزن لمعدن صلب منخفض الكاربون والذي يقدر بحدود (0.006 %) من الوزن الأصلي وقد تم اخذ الحسابات أعلىه ولجميع العينات عند آخر 8 ساعات تشغيل أي بين 40-48 ساعة تشغيل وذلك لبيان التأثير بصورة أكبر على العينة.

ويلاحظ من الأشكال أن التأثير ونسبة فقدان بالوزن يزداد عند رفع درجة حرارة الهواء الممیع 40 درجة مؤية أي أن نسبة فقدان بالوزن عند المديات (40-25 °C) كانت بحدود (1.56E-5 , 3.38E-5 , 4.5E-3) % للعينات (الألمنيوم ، النحاس الأصفر ، صلب منخفض على التوالي) أما نسبة فقدان بالوزن عند المديات (40-60 °C) فقد كانت بحدود (4.7E-5 , 1.01E-4 , 4.58 E-3) % للعينات آنفة الذكر . كما يلاحظ أن معدن الألمنيوم هو أكثر المعادن ثباتاً في فقدان الوزن وأسرعها تأثراً بعملية التمييع . وقد تم التوصل إلى علاقات تجريبية تربط بين وزن القطعة (M) ودرجة حرارة الهواء الممیع الداخل إلى الطبقة (T) هي

معدن الألمنيوم

$$M = -1E-05T^3 + 0.0013T^2 - 0.0589T + 22.72$$

وسيکة النحاس الأصفر

$$M = 3E-08T^3 - 2E-06T^2 - 7E-05T + 59.029$$

ولمعدن صلب منخفض الكاربون

$$M = 1E-07T^3 - 2E-05T^2 + 0.0006T + 63.785$$

كان معامل الارتباط بالنسبة للعينات أعلى (0.9972 0.9908 0.9761) على التوالي وهي قيم جيدة جداً بالنسبة لظروف التشغيل ولمعاملة متعددة الحدود ومن الدرجة الثالثة .

الاستنتاجات :-

- إن معدن الألمنيوم أكثر تأثراً من سبيکة النحاس الأصفر والصلب منخفض الكاربون بسبب ارتطام حبيبات الرمل المستخدمة في الطبقات الممیعة .
- نسبة فقدان الوزن للعينات (الألمنيوم ، النحاس الأصفر ، صلب منخفض الكاربون) على التوالي من وزن العينة الأصلي على مدى 48 ساعة تشغيل وبدرجة حرارة الغرفة 25 درجة مؤية .
- بلغت نسبة فقدان الوزن للعينات (الألمنيوم ، النحاس الأصفر) (0.9 0.006 0.007) % على التوالي من وزن العينة الأصلي على مدى 8 ساعات التشغيل الأخيرة مع رفع درجة حرارة الهواء الممیع تدريجياً من 25 60 درجة مؤية .

4. إن النسب التي ظهرت لدينا قليلة جداً مقارنة بالوزن الأصلي وهذا يؤكد ما توصل إليه الباحثون على أن المبادلات الحرارية التي تعمل بالطبقات الممیعة لها القابلية على تنظيف السطوح بنفسها من الترببات على سطوحها والتي تؤثر على التوصيل الحراري حيث أن هذه الكمية المشار إليها أنها تُعدّ ضمن عملية التنظيف.
5. أن المعادن ذات الصلادة العالية أقل تأثراً بعملية التمييع أو ارتباط حبيبات المادة المتمیعة بها.
6. تم التوصل إلى معادلات تجريبية تربط بين وزن القطعة وعدد ساعات التشغيل عند استخدام هواء ممیع بدرجة حرارة الغرفة وكذلك تم التوصل إلى معادلات تجريبية تربط بين وزن القطعة ودرجة حرارة الهواء الممیع عند رفعه تدريجياً كي يمثل أقصى درجات الحرارة التي يصلها الجو في فصل الصيف بالعراق.

References

المصادر

1. Petrie,J.C.,Freeby,W.A. and Buckham,J.A., "In-Bed Heat Exchanger", Chemical Engineering Progress, Vol.64, pp.45-51 , July 1968
2. Al dabbagh, M. S., "Design and Testing of a Fluidized Bed Dry Cooling Tower", M.Sc, Mechanical Engineering Department, University of Mosul, Mosul, Iraq, 2000.
3. Al-Busoul, M., Abu-Zaid, M., "Predication of Heat Transfer Coefficient Between Immersed Surface and Fluidized Beds", Int.Comm. Heat Mass Transfer, Vol.27, No.4.pp.549-558, 2000.
4. Williams,H.W,Hernandez,R.,Mah,C.S., "Choosing The Optimum Bed Material For A Fluidized Bed Heat Exchanger", 16th Intersociety Energy Conversion, Paper 819302 , Atlanta , Georgia , August 10-14 , 1981.
5. Grewal,N.S. and Saxena,S.C., "Experimental Studies Of Heat Transfer Between a Bundle of Horizontal Tubes and a Gas-Solid Fluidized Bed of Small Particles", Ind.Eng.Chem.Process Des.Dev.,Vol.22,No.3,pp.367-374 , 1983.
6. Sciubba.E., "Bed-To-Tube Heat Exchanger Coefficient in a Small,Fine- Particaled ,Cold Fluidized Bed", Int.Comm.Heat Mass Transfer ,Vol.13 , pp.305-314 , 1986.
7. McGaw,D.R., "Heat Transfer in Shallow Crossflow Fluidized Bed Heat Exchangers", I.A Generalized Theory , Int.J.Heat Mass Transfer,Vol.19, pp.657-663 , 1975.
8. McGaw,D.R., "Heat Transfer in Shallow Crossflow Fluidized Bed Heat Exchangers",II.A Experimntal,Int.J.Heat Mass Transfer,Vol.19, pp.665-671 ,1975.
9. Aihara,T.,Maruyama,S.and Hongoh,M., "Heat Transfer and Pressure Loss Of A Very Shallow Fluidized Bed Heat Exchanger.Part 1.Experiment with Single Row of Tubes", Exp.Thermal Fluid Sci.,Vol.1,No.4,pp.315-323 , 1988.
10. Al-Allaf,R.,A., "Engine condition monitoring of industrial gas turbine compressor" , M.,Sc.thesis , cranfield Institute of technology school of Mechanical Engineering , 1987 .
11. Degang R., and Masayuki H., "Investigation of Particle and Bubble Behaviors Around Tubes Immersed in a Pressurized Fluidized Bed", Proceedings of the 15th International Conference on Fluidized Bed Combustion, ASME, Savannah, Georgia, 1999.
12. Wright1, I. G., Stringer, J. And Wheeldon , J. M., " Materials issues in bubbling PFBC systems", MAHT/Wright, Page 219, 2003.
13. Draft Technical Support Document for HWC MACT Standards, Volume I, Description of Source Categories U.S. Environmental Protection Agency Office of Solid Waste and Emergency Response (5305), 1200 Pennsylvania Avenue, NW ,Washington, D.C. 20460, March 2004.

14. Hou, P.,Y., MacAdam, S., Niu, Y., StringerI, J., "High temperature degradation by erosion-corrosion in bubbling fluidized bed combustors", Materials Research Print ISSN 1516-1439, Mat. Res. vol.7, no.1, São Carlos, Jan./Mar. 2004.
15. Pandey ,P.C., and Shon, H.S., "Modern Machining Processes", McGraw – Hill Publishing company , Newdelhi , 1988 .
16. Botterill,J.S., " Fluidized bed heat transfer", Academic Press, London,1975.

تم اجراء البحث في كلية الهندسة – جامعة الموصل